

# تأثیر جای‌گزینی ساکاروز با اینولین و ترکیبات حجم دهنده روی ویژگی‌های رئولوژیکی و اندازه ذرات شکلات تلخ کم‌کالری

شکوفه بیطرف<sup>۱</sup>، سلیمان عباسی<sup>۲\*</sup>، زهره حمیدی<sup>۳</sup>

۱- دانشآموخته کارشناسی ارشد، گروه علوم و صنایع غذایی، دانشکده کشاورزی، دانشگاه تربیت مدرس

۲- دانشیار، گروه علوم و صنایع غذایی، دانشکده کشاورزی، دانشگاه تربیت مدرس

۳- دانشیار، گروه علوم و صنایع غذایی، دانشکده کشاورزی، دانشگاه تربیت مدرس

(تاریخ دریافت: ۹۲/۱/۱۶ تاریخ پذیرش: ۹۲/۴/۲۹)

## چکیده

شکلات مذاب تلخ، تعليقی متشكل از ذرات غيرجرب، شکر و کاکائو است که در کره‌ی کاکائو به عنوان فاز پیوسته پراکنده شده‌اند، لذا تعیین ویژگی‌های رئولوژیکی شکلات در تولید محصولی با کیفیت بالا و بافت مناسب بسیار مهم می‌باشد. توزیع اندازه‌ی ذرات نیز یک شاخص کلیدی در ویژگی‌های رئولوژیکی شکلات است که به طور مستقیم بر پذیرش حسی شکلاتات موثر است. به همین دلیل در این بررسی تأثیر جای‌گزینی ساکاروز با یک ترکیب پری‌بیوتیک (اینولین) و دو ماده حجم‌دهنده (پلی دکستروز و مالتودکسترین) در نسبت‌های متفاوت (۱۰۰-۰-۰) و سوکرالوز (به عنوان شیرین‌کننده) بر برخی ویژگی‌های رئولوژیکی شکلاتات تلخ پری‌بیوتیک مورد بررسی قرار گرفت. پاسخ‌های به دست آمده حاکی از آن بود که همه نمونه‌های شکلاتات دارای ویژگی تیکسوتروپیک بوده و رفتار شبه پلاستیک از خود نشان دادند. از بین مدل‌های ریاضی ارزیابی شده جهت پیشگویی ویژگی‌های رئولوژیکی شکلات، مدل کاسون مناسب‌ترین مدل برای این منظور تشخیص داده شد. جای‌گزینی ساکاروز تاثیر کمی بر ویژگی‌های ویسکوالاستیک نمونه‌ها داشت و گرانروی نمونه‌ها مستقل از زمان بود. اندازه ذرات نمونه‌های تولیدی نیز گرچه از نمونه تجاری بیشتر بود، اما زیر آستانه چشایی بود.

**کلید واژگان:** شکلاتات تلخ کم‌کالری؛ اینولین؛ پلی دکستروز؛ مالتودکسترین؛ ویژگی‌های رئولوژیکی؛ اندازه ذرات.

## ۱- مقدمه

در مجموع تأثیر چربی بر گرانزوی پلاستیک بیش از تنش تسلیم است [۶].

افزایش رطوبت موجب افزایش گرانزوی و تنش تسلیم می‌شود. زیرا آب سبب تشکیل لایه‌ی شربت روی ذرات شکلات شده و این امر سبب افزایش اصطکاک بین این ذرات می‌گردد. به ازای هر  $0.3^{\circ}$  درصد رطوبت اضافی در انتهاهای عملیات کونچ کردن باید ۱ درصد چربی بیشتر استفاده گردد که این امر خود سبب افزایش هزینه‌های تولید شکلات می‌شود [۴]. رطوبت موجود در شکلات نیز می‌تواند به صورت آزاد یا پیوندی باشد که هرچه رطوبت پیوندی بیشتر باشد، بهتر است [۶].

نقش عمده مواد امولسیون‌کننده، تشکیل یک پل بین دو ماده‌ی غیر قابل اختلاط (شکر و کره کاکائو) است. متداول‌ترین ماده‌ی امولسیون‌کننده در صنعت شکلات لسیتین است. افزودن لسیتین موجب کاهش گرانزوی می‌گردد اما مقادیر بیش از حد لسیتین سبب تغییر ویژگی‌های جریانی می‌شود زیرا افزایش بیش از حد لسیتین تنش تسلیم را افزایش داده در حالی که گرانزوی پلاستیک کاهش نمی‌باید. مقدار لسیتینی که می‌تواند استفاده شود تا حدود زیادی به توزیع اندازه‌ی ذرات بستگی دارد [۶]. توزیع اندازه‌ی ذرات نیز یک شاخص کلیدی در ویژگی‌های رئولوژیکی شکلات است. ذرات درشت به دلیل شنی بودن در شکلات موثر است. ذرات درشت به دلیل شنی بودن در احساس دهانی بسیار موثرند اما ذرات ریز به دلیل تاثیر بر ویژگی‌های جریانی شکلات مهم‌تر هستند [۶]. کاهش اندازه‌ی ذرات هم سبب افزایش گرانزوی و تنش تسلیم می‌شود [۵]. در ضمن، معمولاً افزایش دما موجب کاهش گرانزوی می‌گردد [۵] و [۷] و در هنگام کونچ کردن نیز به سبب افزودن امولسیفایرها و کاهش میزان رطوبت، میزان گرانزوی و تنش تسلیم کاهش می‌یابند. لازم به ذکر است که حضور مقدار زیاد بلورهای چربی به دلیل مشروط کردن در دمای بالا نیز سبب کاهش حرکت مایع و در نتیجه افزایش گرانزوی و تنش تسلیم می‌شود [۸].

رفتار جریانی شکلات مذاب به صورت غیرنیوتونی و همراه با تنش تسلیم بوده و به وسیله‌ی بعضی مدل‌های ریاضی شامل بینگهام (Bingham) (معادله ۱)، کاسون (Casson) (معادله ۲)، توان (Power) (معادله ۳)، هرشل-بالکلی (-Herschel) و ویندلب (Windhab Model) (معادله ۴) و ویندلب (Bulkley)

امروزه با توجه به افزایش آگاهی مردم در مورد ضررهای مصرف زیاد قند، نگرانی افراد در مصرف شکلات با توجه به میزان کالری بالای آن افزایش یافته است. زیرا مصرف زیاد قند باعث چاقی شده و چاقی زمینه‌ساز بسیاری از بیماری‌ها مانند بیماری‌های قلبی، فشار خون بالا، کلسترول بالا، سکته و بعضی از سرطان‌ها می‌باشد [۱] به همین دلیل امروزه در میان تولیدکنندگان و مصرف کنندگان، شکلات‌های با کالری کاهش یافته از محبوبیت زیادی برخوردار شده‌اند [۲].

رئولوژی به عنوان علم مطالعه‌ی تغییرشکل و جریان مواد تعریف شده است. در تعریف کلاسیک، رئولوژی به دو بخش تغییرشکل (مربوط به مواد دارای ماهیت جامدمانند) و جریان (مربوط به مواد دارای ماهیت مایع مانند) تقسیم می‌گردد [۳]. از آنجایی که شکلات مذاب، تعلیقی متشکل از ذرات غیرچرب، شکر، کاکائو و شیر است که در کره‌ی کاکائو به عنوان فاز پیوسته پراکنده شده‌اند، لذا تعیین ویژگی‌های رئولوژیکی شکلات به‌ویژه گرانزوی و تنش تسلیم در تولید محصولی با کیفیت بالا و بافت مناسب بسیار مهم می‌باشد [۴]. گرانزوی عبارت از اصطکاک درونی یک سیال یا تمایل آن به مقاومت در برابر جریان است و تنش تسلیم در مایعات نقطه‌ای است که این مواد با کاهش تنش اعمال شده ابتدا رفتاری مشابه مواد جامد نشان داده و سپس تغییر شکل متوقف می‌شود [۳]. از جمله عوامل تاثیرگذار بر این ویژگی‌های رئولوژیکی می‌توان به میزان چربی، میزان رطوبت، امولسیون‌کننده‌ها، اندازه‌ی ذرات، دما، زمان کونچ کردن و مشروط کردن دمایی اشاره کرد [۲]. در ادامه به نقش هر یک از این عوامل اشاره شده است.

اصلًا شکلات‌ها حاوی ۲۵ الی ۳۵٪ چربی می‌باشند. ولی بعضی پوشش‌های بستنی شکلاتی دارای مقدار بالاتری از چربی و بعضی از شکلات‌های ویژه مانند ورمیشل‌ها دارای چربی کمتری هستند [۴]. افزایش چربی به ویژه کره کاکائو سبب کاهش گرانزوی و تنش تسلیم می‌شود [۵]. تاثیر افزایش درصد چربی روی گرانزوی بستگی به مقدار چربی اولیه و اینکه کدام یک از پارامترهای گرانزوی را در نظر بگیریم، دارد. مثلاً اگر چربی نمونه بالای ۳۲ درصد باشد، با افزودن ۱ درصد چربی تغییر بسیار اندکی در گرانزوی صورت می‌گیرد ولی اگر چربی نمونه ۲۸ درصد باشد، افزایش ۱ درصد چربی تاثیر بسیار زیادی به خصوص بر گرانزوی پلاستیک خواهد داشت.



در مدت ۱۶ دقیقه بررسی شد [۳].

### ۳-۲-۲- تعیین اندازه ذرات

برای تعیین اندازه ذرات نمونه‌های شکلات از دستگاه Master sizer (Malvern) مدل ۲۰۰۰ ساخت انگلیس استفاده شد. ابتدا حدود ۰/۲ گرم نمونه در ۱۰ سی سی اتانول حل شد، سپس به مدت ۲ دقیقه در حمام اولتراسوند (Tecna ۳، ساخت ایتالیا) با شدت پایین و دمای محیط قرار گرفت تا در حلال به خوبی حل و پراکنده شود. در مرحله بعد چند قطره از مخلوط حاصل به سل دستگاه اضافه گردید. باید توجه داشت که در داخل دستگاه نیز از اتانول به عنوان حلال استفاده شد [۱۱].

### ۳-۲- تجزیه و تحلیل آماری

برای ارزیابی آماری داده‌ها از نرم افزار SPSS 16.0 (SPSS Inc.) استفاده گردید. به منظور بررسی معنی‌دار بودن اختلاف موجود بین میانگین‌ها در آزمون‌های دستگاهی از روش ANOVA و جهت تعیین اختلافات از روش مقایسه چند دامنه‌ای دانکن استفاده شد. به علاوه، رسم نمودارها با کمک نرم افزار EXCEL انجام گرفت. هم‌چنین، اطلاعات به دست آمده از آزمایش‌های رئولوژیکی با استفاده از نرم افزارهای MATLAB 2008a و EXCEL به منظور تعیین مدل ریاضی مناسب مورد پردازش قرار گرفته و در این راستا از رگرسیون‌های خطی و غیرخطی استفاده گردید.

## ۳- یافته‌ها و بحث

### ۱-۳- تعیین مدل ریاضی

به منظور دست‌یابی به مدل ریاضی مطلوب و قابل استفاده برای بررسی رفتار جریانی نمونه‌های شکلات تlux کم‌کالری، داده‌های به دست آمده از آزمون‌های رئولوژیکی (مد بالارونده) با مدل‌های بینگهام، توان، هرشل-بالکلی، کاسون و ویندهب مورد بررسی قرار گرفتند. مناسب‌ترین مدل با توجه به ضریب تعیین ( $r^2$ )، ریشه دوم خطای میانگین از استاندارد (RMSE: Root Mean Standard Error) و  $\chi^2$  انتخاب شد. چون ضریب تعیین ( $r^2$ ) مدل کاسون برای همه نمونه‌ها بالای ۹۹ درصد بود و بین نمونه‌ها تفاوت زیادی مشاهده نشد، مدل کاسون به عنوان مناسب‌ترین مدل انتخاب شد (جدول ۱).

(Bob) با سطح مقطع دایره‌ای است که به صورت هم محور داخل یک فنجانک (Cup) حاوی سیال مورد آزمایش قرار گرفته و با دوران دادن شاقول یا فنجانک میزان کشیده شدن سیال روی گلوله توسط حس‌گرهای گشتاور پیچشی (Torque sensor) اندازه‌گیری می‌شود [۳ و ۷]. اندازه‌گیری‌ها مطابق روش فرzan مهر و همکاران انجام شد. ابتدا نمونه‌های شکلات در ظرفی دربسته حداقل به مدت ۷۵ دقیقه داخل آون ۵۰ درجه‌ی سانتی‌گراد قرار داده شدند. سپس نمونه‌های ذوب شده درون فنجانک ژئومتری استوانه‌های هم‌مرکز ریخته شدند. بعد از قرار دادن استوانه داخلی و قبل از شروع اندازه‌گیری‌ها نمونه‌ها به مدت ۱۰ دقیقه در دمای ۴۰ درجه‌ی سانتی‌گراد با سرعت برشی  $S^{-1}$  ۵ هم‌زده شدند. سپس در دمای ۴۰ درجه‌ی سانتی‌گراد میزان تغییرات تنش برشی به عنوان تابعی از سرعت برشی در دامنه‌ی ۰/۰۱ تا  $60 S^{-1}$  (شیب افزایشی) و  $60 T^{-1}$  (شیب کاهشی) هر کدام در مدت ۳ دقیقه اندازه‌گیری شد. سپس تطابق داده‌های تجربی با مدل‌های ریاضی بینگهام، کاسون، توان، هرشل-بالکلی و ویندهب که به اختصار در مقدمه توضیح داده شدند مورد بررسی قرار گرفت. سپس، مناسب‌ترین مدل ریاضی بر اساس شاخص‌های ضریب تعیین  $r^2$  و  $\chi^2$  RMSE برای هر یک از نمونه‌ها گزارش شد [۴ و ۷ و ۹].

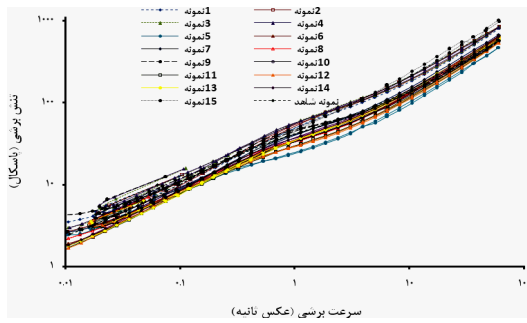
به منظور بررسی ویژگی‌های ویسکوالاستیک نمونه‌ها نیز از آزمون‌های نوسانی استفاده شد. برای این منظور، روند تغییرات ضریب ذخیره،  $G'$  (Storage modulus) و ضریب افت،  $G''$  (Loss modulus) به صورت تابعی از بسامد زاویه‌ای، در محدوده‌ی ۰/۰۱-۱۰۰۰ رادیان بر ثانیه (rad/s) در دمای ۴۰ درجه‌ی سانتی‌گراد اندازه‌گیری شد. جهت انجام آزمایش در ناحیه‌ی خطی ویسکوالاستیک، میزان کرنش اعمال شده در ناحیه‌ی خطی ویسکوالاستیک، میزان کرنش اعمال شده (Strain) ۰/۰۱ درصد بود. پس از انجام این مرحله تغییرات ضرایب ذخیره و افت ( $G'$  و  $G''$ ) به صورت تابعی از زمان در بسامد ۱ هرتز (Hz) و میزان کرنش ۰/۰۱ درصد مورد بررسی قرار گرفت [۳ و ۷].

به منظور بررسی تغییرات ویسکوزیته نمونه‌های شکلات در طول زمان نیز از آزمون تیکسوتropی (thixotropic test) استفاده شد. برای این منظور، روند تغییرات ویسکوزیته در طول زمان در سرعت برشی ثابت  $S^{-1}$  ۵۰ (سرعت برشی اعمال شده در حفره دهانی) در دمای ۴۰ درجه‌ی سانتی‌گراد

جدول ۱ مقایسه تاثیر جایگزین‌های قند بر میزان برآورد داده‌های رئولوژیکی شکلات‌های تلخ با مدل‌های ریاضی متداول

نمونه	شاخص‌ها						نمونه					
	مدل‌های ریاضی			نمونه								
وینهاب	کلسون	هرشل بلکلی	توان	سینگهام	نمونه	وینهاب	کلسون	هرشل بلکلی	توان	سینگهام	نمونه	
۲/۹۸۴	۵/۸۰۱	۷/۵۴۸	۱۱/۳۷	۱۴/۳۸	RMSE	۷/۳۹	۱۱/۴۱	۴/۴۲۸	۷/۲۴۹	۲۶/۱	RMSE	
۰/۹۹۹۵	۰/۹۹۸۳	۰/۹۹۷۲	۰/۹۹۳۴	۰/۹۸۹۴	$r^2$	۹	۰/۹۹۸۷	۰/۹۹۷	۰/۹۹۹۵	۰/۹۹۹۱	۰/۹۸۴۷	$r^2$
۸/۹	۳۳/۶۴۷	۵۶/۹۶	۱۲۹/۲۹	۲۶۰/۹۱	$\chi^2$	۵۴/۶۲	۱۳۰/۰۸	۱۹/۱۸	۳۹/۰۵	۶۸۱	$\chi^2$	
۲/۶۸۴	۳/۴۰۱	۵/۰۰۳	۷/۷۳۸	۱۰/۹۸	RMSE	۲۲/۸۷	۸/۸۵۶	۶/۸۳۹	۹/۱۷	۲۳/۰۷	RMSE	
۰/۹۹۹۷	۰/۹۹۹۴	۰/۹۹۸۸	۰/۹۹۷	۰/۹۹۳۹	$r^2$	۱۰	۰/۹۸۹۱	۰/۹۹۸۳	۰/۹۹۹۹	۰/۹۹۸۱	۰/۹۸۸۲	$r^2$
۷/۲	۱۱/۹	۲۵/۰۲	۵۹/۸۸	۱۲۰/۶۴	$\chi^2$	۵۲۳/۰۸	۶۷۶۷۶	۴۶/۷۵	۸۴/۰۸	۵۳۲/۴۱	$\chi^2$	
۲/۷۸۱	۲/۷۰۶	۴/۱۲۲	۶/۸۴۴	۹/۳۳۲	RMSE	۲۳/۶	۹/۱۵۱	۷/۷۹۷	۱۰/۷۶	۲۳/۹۸	RMSE	
۰/۹۹۹۵	۰/۹۹۹۶	۰/۹۹۹	۰/۹۹۷۳	۰/۹۹۵۱	$r^2$	۱۱	۰/۹۸۸۳	۰/۹۹۸۱	۰/۹۹۸۶	۰/۹۹۷۴	۰/۹۸۷۲	$r^2$
۷/۷۳	۷/۳۲۳	۱۶/۹۸	۴۶/۸۵	۷۸/۰۸	$\chi^2$	۵۵۶/۹	۸۳/۷۳۵	۶۰/۷۸	۱۱۵/۷۳	۵۷۵/۰۲	$\chi^2$	
۲/۸۵۷	۲/۶۹	۴/۰۹۵	۷/۰۴	۸/۸۹۷	RMSE	۲۳/۸۱	۹/۹۸۵	۶/۷۷۶	۹/۵۴۸	۲۵/۱	RMSE	
۰/۹۹۹۰	۰/۹۹۹۶	۰/۹۹۹	۰/۹۹۷۱	۰/۹۹۵۴	$r^2$	۱۲	۰/۹۸۷۲	۰/۹۹۷۶	۰/۹۹۸۹	۰/۹۹۷۸	۰/۹۸۴۹	$r^2$
۸/۱۶	۷/۶۷۶	۱۶/۷۶	۴۹/۰۵	۷۹/۱۴	$\chi^2$	۵۶۶/۹	۹۹/۷۰۵	۴۵/۹	۹۱/۱۷	۶۳۰/۳۲	$\chi^2$	
۳/۹۱۲	۴/۰۱۷	۴/۴۳۹	۶/۷۶۶	۱۳/۰۶	RMSE	-	۲/۰۵۳	-	-	-	RMSE	
۰/۹۹۹۴	۰/۹۹۹۳	۰/۹۹۹۲	۰/۹۹۸۱	۰/۹۹۳	$r^2$	۱۳	-	۰/۹۹۹۷	-	-	$r^2$	
۱۵/۳۰	۱۶/۱۳۵	۱۹/۷۰	۴۵/۷۹	۱۶۹/۹۷	$\chi^2$	-	۴/۲۱۴	-	-	-	$\chi^2$	
۳/۶۱۱	۴/۰۹۷	۵/۳۱	۸/۱۰۲	۱۳/۰۸	RMSE	۲/۹۸۹	۳/۸۰۹	۵/۱۲۱	۷/۷۴۲	۱۲/۲	RMSE	
۰/۹۹۹۵	۰/۹۹۹۳	۰/۹۹۸۹	۰/۹۹۷۳	۰/۹۹۳۱	$r^2$	۱۴	۰/۹۹۹۶	۰/۹۹۹۳	۰/۹۹۸۹	۰/۹۹۷۳	۰/۹۹۳۳	$r^2$
۱۳/۰۳	۱۶/۷۸۲	۲۸/۱۹	۶۵/۶۴	۱۷۱/۰۲	$\chi^2$	-	۸/۹۳	۱۴/۵۱۱	۲۶/۲۳	۵۹/۹۴	۱۴۸/۷۳	$\chi^2$
۲۰/۳۵	۲۱/۷۷	۲۱/۷۲	۲۱/۹۷	۲۹/۵	RMSE	۴/۲۰۲	۴/۴۶۴	۵/۵	۸/۳۶۸	۱۴/۴۳	RMSE	
۰/۹۹۲۱	۰/۹۹۰۵	۰/۹۹۰۷	۰/۹۹۰۲	۰/۹۸۱۸	$r^2$	۱۵	۰/۹۹۹۴	۰/۹۹۹۲	۰/۹۹۸۹	۰/۹۹۷۴	۰/۹۹۲۴	$r^2$
۴۱۴/۲۰	۴۶۹/۷۹	۴۷۱/۰۸	۴۸۲/۸	۸۷۰/۱۹	$\chi^2$	-	۱۸/۰۷	۲۱/۵۸	۳۰/۲۴	۷۰/۰۲	۲۸۰/۱۴	$\chi^2$
۱۷/۰۷	۵/۹۹	۵/۷	۸/۶۴	۱۶/۰۵	RMSE	۲/۳۸۹	۳/۷۶۸	۴/۹۹۸	۸/۱۸۱	۸/۸۸	RMSE	
۰/۹۸۶۶	۰/۹۹۸۳	۰/۹۹۸۴	۰/۹۹۶۳	۰/۹۸۶۷	$r^2$	شاهد	۰/۹۹۹۵	۰/۹۹۹۴	۰/۹۹۹	۰/۹۹۷۳	۰/۹۹۶۸	$r^2$
۲۷۴/۳۲	۳۵/۳۲۳	۳۱/۵۲	۷۴/۷۹	۲۷۳/۳۸	$\chi^2$	۱۱/۴۸	۱۵/۰۲	۲۴/۹۸	۶۶/۹۱	۷۸/۸۵	$\chi^2$	

بالارونده و پایین رونده را کاهش داد. در برخی موارد، تیکسوتروپی مشاهده شده ممکن است ناشی از اثر لغزش نمونه روی دیوارهای ژئومتری باشد. اگر دیوارهای ژئومتری دارای سطح موج باشد کاهش در تنش برشی تقریباً به طور کامل از بین خواهد رفت [۷ و ۸].



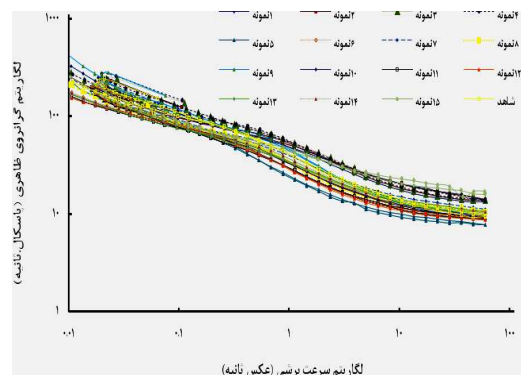
شکل ۱ تاثیر نسبت‌های مختلف (۰، ۲۵، ۵۰، ۷۵، ۱۰۰ درصد) جایگزین‌های قند (اینولین، پلی دکستروز و مالتودکسترین) روی

### ۲-۳ بررسی رفتار جریانی شکلات

جهت بررسی ویژگی‌های رئولوژیکی از نمودار تنش برشی در برابر سرعت برشی استفاده شد. همان‌طور که در شکل ۱ مشاهده می‌شود حلقه‌ی پس‌ماند (Hysteresis loop) در تمامی نمونه‌ها بین دو نمودار افزایش و کاهش سرعت برشی مشاهده شد و هنگامی که سرعت برشی از  $0/۰۱\text{ s}^{-1}$  به  $۶۰\text{ s}^{-1}$  برسی یافت، مقدار تنش برشی و گرانزوی نیز در سرعت‌های برشی یکسان نسبت به حالت افزایشی (از  $۰/۰\text{ s}^{-1}$  به  $۰/۰۱\text{ s}^{-1}$ ) کاهش یافت. این رفتار به طبیعت ماده‌ی مورد آزمایش مستنگی داشته و نشان‌دهنده‌ی ویژگی تیکسوتروپیک در سیالات وابسته به زمان می‌باشد [۳]. ویژگی تیکسوتروپیک قبل‌نیز در شکلات ثابت شده است [۲ و ۱۲]. بر اساس پیشنهادهای IOCCC می‌توان با افزایش زمان انتظار قبل از انجام اندازه‌گیری‌ها، میزان جابه‌جایی بین نمودارهای

در شکل ۲ تغییرات گرانروی بر حسب سرعت برشی نشان داده شده است. همان‌طور که مشاهده می‌شود شکلات تلخ تولیدی رفتار شبیه پلاستیک (pseudoplastic) دارد. یعنی گرانروی در سرعت‌های برشی پایین بالا بوده و با افزایش جزئی سرعت برشی کاهش می‌یابد. همچنین، در شکل دیده می‌شود که پس از طی دو چرخه لگاریتمی این تغییرات تقریباً متوقف شده و میزان گرانروی ظاهری به مقداری ثابت رسیده و افزایش بیشتر سرعت برشی تاثیری بر میزان گرانروی Servais و ظاهری نمونه‌ها ندارد. در راستای این نتایج، همکاران بیان کردند که گرانروی شکلات با افزایش سرعت برشی کاهش می‌یابد و در سرعت‌های برشی بالا گرانروی مستقل از سرعت برشی (Newtonian plateau) می‌شود [۹ و ۱۳ و ۱۴].

نمودار تنش برشی - سرعت برشی شکلات‌های تلخ کمکالری در حالت‌های افزایشی و کاهشی ( $0.01\text{ s}^{-1}$  تا  $60\text{ s}^{-1}$  و  $60\text{ s}^{-1}$  تا  $0.01\text{ s}^{-1}$ )



شکل ۲ تاثیر نسبت‌های مختلف (۰، ۵۰، ۷۵، ۱۰۰ درصد) جایگزین‌های قند (اینولین، پلی‌دکستروز و مالتودکسترین) روی نمودار گرانروی - سرعت برشی شکلات‌های تلخ کمکالری در دمای ۴۰ درجه سانتی‌گراد

جدول ۲ مقایسه تاثیر نسبت‌های مختلف جایگزین‌های قند روی مقادیر متغیرهای مدل رئولوژیکی کاسون در شکلات تلخ کمکالری

شماره نمونه	ساکاروز (گرم درصد)	اینولین (گرم درصد)	پلی‌دکستروز (گرم درصد)	ملودکسترین (گرم درصد)	گرانروی ظاهری (پاسکال ثابتیه)	گرانروی کلسون (پاسکال ثابتیه)	تش سليم (پاسکل)
۱	۰	۰	۰	۴۲/۸	۱۴/۷	۳/۳۰	۱۳/۸۲
۲	۰	۰	۱۰/۷	۳۲/۱	۱۴/۹	۳/۳۳	۱۲/۷۶
۳	۰	۰	۲۱/۴	۲۱/۴	۱۴/۹	۳/۳۰	۱۴/۴۳
۴	۰	۰	۳۲/۱	۱۰/۷	۱۴/۲	۳/۲۲	۱۵/۳۳
۵	۰	۰	۴۲/۸	۸/۱	-	۲/۰۳	۴/۵۳
۶	۰	۱۰/۷	۰	۳۲/۱	۱۰/۵	۲/۸۵	۶/۹۶
۷	۰	۱۰/۷	۱۰/۷	۲۱/۴	۱۱/۶	۲/۹۶	۸/۳۳
۸	۰	۱۰/۷	۲۱/۴	۱۰/۷	۱۱/۱	۳/۰۰	۴/۷
۹	۰	۱۰/۷	۳۲/۱	-	۹/۹۷	۲/۶۷	۱۰/۷۳
۱۰	۰	۱۰/۷	۰	۲۱/۴	۹/۹۱	۲/۷۷	۶/۷۴
۱۱	۰	۲۱/۴	۱۰/۷	۱۰/۷	۹/۳۶	۲/۷۱	۵/۳۶
۱۲	۰	۲۱/۴	۲۱/۴	۰	۹/۲۱	۲/۶۹	۵/۲۸
۱۳	۰	۳۲/۱	۰	۱۰/۷	۱۰/۸	۲/۹۲	۶/۹۵
۱۴	۰	۳۲/۱	۱۰/۷	۰	۱۱/۱	۲/۹۵	۷/۵۱
۱۵	۰	۴۲/۸	۰	۱۰/۷	۱۴/۹	۳/۶۹	۹/۰۶
شاهد	۴۲/۸	۰	۰	۰	۱۰/۱	۲/۶۹	۱۱/۲۵

۰ و ۵۰ درصد اینولین بودند شاید بتوان نتیجه گرفت پلی‌دکستروز و اینولین بیشتر از مالتودکسترین موجب کاهش گرانروی شده است. کاهش گرانروی در ترکیبات حاوی اینولین و پلی‌دکستروز قبل از نیز گزارش شده است. به طوری که در پژوهش Shah و همکاران نیز بعضی از نمونه‌های شکلات

گرانروی کاسون نمونه‌های مختلف در جدول ۲ مقایسه شده است. گرانروی کاسون دو نمونه ۵ و ۹ پایین‌تر و گرانروی کاسون نمونه ۱۲ مشابه نمونه شاهد بود. از آنجایی که نمونه ۵ و ۹ به ترتیب دارای ۱۰۰، ۷۵ و ۵۰ درصد پلی‌دکستروز و

۱۳، ۶، ۷ و ۱۱ دارای گرانروی بالای بودند. نمونه ۴، ۸ و ۷ دارای درصد پلی‌دکستروز بالای هستند. پس علاوه بر جاذب-الرطوبه بودن این ترکیب وزن مولکولی بالای آن نیز ممکن است دلیل گرانروی بالای این نمونه‌ها باشد. همان طور که قبلًا گفته شد نمونه ۱۴ دارای کمترین میزان رطوبت در بین نمونه‌ها بود بنابراین، گرانروی بالای این نمونه را می‌توان به رطوبت کم آن نسبت داد. در ضمن، میزان گرانروی کاسون برای شکلات تlux بین ۲/۱ تا ۳/۹ پاسکال. تانیه گزارش شده است [۱۸]، که گرانروی تمامی نمونه‌ها در این محدوده می‌باشدند.

تش تسليم نیز یکی از ویژگی‌هایی است که نشان دهنده حداقل تش برشی لازم برای جریان یافتن ماده می‌باشد [۱۵]. مقادیر تنش تسليم محاسبه شده برای نمونه‌های مورد آزمون نیز در جدول ۱ نشان داده شده است. تنش تسليم کاسون برای شکلات تlux بین ۴-۳۲ پاسکال گزارش شده است [۱۸] که تمامی نمونه‌ها در این محدوده قرار دارند. تقریباً تمامی نمونه‌ها (به استثنای نمونه ۱ و ۲) دارای تنش تسليم کمتری از نمونه شاهد هستند. پس می‌توان نتیجه گرفت که جای‌گزینی ساکاروز با ترکیبات جای‌گزین سبب کاهش تنش تسليم شده است. کمترین تنش تسليم هم به ترتیب مربوط به نمونه‌های ۵، ۸ و ۱۲ می‌باشد. چون نمونه ۵، ۱۰۰ درصد و نمونه ۸ و ۱۲ درصد پلی‌دکستروز دارند می‌توان نتیجه گرفت پلی-دکستروز بیش از دو ترکیب دیگر سبب کاهش تنش تسليم شده است. بیشترین تنش تسليم نیز مربوط به نمونه‌های ۱ و ۲ بود که به ترتیب دارای ۱۰۰ و ۷۵ درصد مالتودکسترن بودند. اصولاً میزان تنش تسليم به عوامل مختلفی بستگی دارد که از آن جمله می‌توان به: ۱- اندازه ذرات: با افزایش اندازه ذرات تنش تسليم به طور قابل ملاحظه‌ای کاهش می‌یابد، ۲- دما و زمان کونچ کردن [۲۰-۳-میزان لستین] [۱۹] و با توجه به یافته‌های این بررسی احتمالاً به جای‌گزینی ساکاروز با اینولین، پلی‌دکستروز و مالتودکسترن اشاره کرد که البته کاهش تنش تسليم با استفاده از اینولین به عنوان ترکیب پرکننده در تهیه شکلات قبلًا نیز گزارش شده است [۲۰]. در پژوهش فرزانمهر و همکاران نیز تنش تسليم نمونه شاهد از تمامی نمونه‌ها بیشتر بود [۵]. در بررسی که Shah و همکاران روی تولید شکلات کم‌کالری با استفاده از استوپا به عنوان شرین‌کننده و اینولین و پلی‌دکستروز به عنوان پرکننده انجام دادند نیز کاهش تنش تسليم مشاهده شد [۱۵].

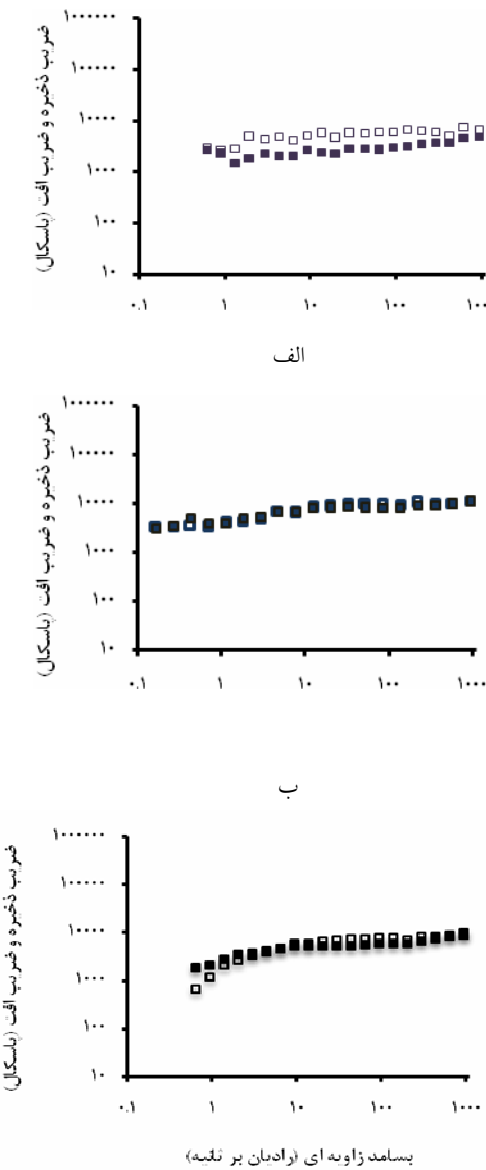
همان طور که دیده می‌شود نمونه‌های ۵، ۱۲، ۱۱، ۱۰ و ۹ به ترتیب دارای کمترین میزان گرانروی ظاهری می‌باشند بهطوری که گرانروی ظاهری آن‌ها از نمونه شاهد نیز کمتر است. نمونه-

کم‌کالری حاوی اینولین و پلی‌دکستروز گرانروی کمتری از نمونه شاهد داشتند البته گرانروی نمونه‌هایی که دارای اینولین با درجه پلیمریزاسیون بسیار بالا بودند، بسیار بیشتر از نمونه شاهد بود [۱۵]. احتمالاً چون در بررسی حاضر این نمونه دارای ۱۰۰ درصد اینولین می‌باشد، لذا شاید این گرانروی بالا به جاذب‌الرطوبه بودن اینولین و اتصال به مولکول‌های آب مربوط باشد که از کاهش رطوبت در مرحله کونچ‌کردن و سایر مراحل تولید شکلات جلوگیری می‌کند. همان‌طور که قبلًا دیده شد این نمونه دارای درصد رطوبت بالای نیز بود. در مطالعه-ای

که تأثیر کاربرد D-تاکاتوز و اینولین به عنوان جای‌گزین ساکارز بر بعضی ویژگی‌های رئولوژیکی و حسی شکلات تیره بررسی شد نیز نتایج نشان داد که با کاهش میزان اینولین در نمونه‌ها، گرانروی ظاهری و پلاستیک کاهش یافت [۱۳]. این اثر در پژوهش فرزانمهر و همکاران نیز تایید شد [۵]. پس از نمونه ۱۵ به ترتیب نمونه‌های ۱، ۲ و ۳ دارای گرانروی بالاتری بودند. البته نمونه ۱ و ۳ دارای گرانروی برابر بودند. همان‌طور که قبلًا دیده شد نمونه ۱ دارای بالاترین میزان رطوبت در میان نمونه‌ها بود و نمونه‌های ۲ و ۳ نیز دارای درصد رطوبت بالای بودند بنابراین، شاید بتوان این رطوبت بالا را دلیل افزایش گرانروی این نمونه‌ها دانست.

نمونه‌های ۱، ۲ و ۳ به ترتیب دارای ۱۰۰، ۷۵ و ۵۰ درصد مالتودکسترن هستند. افزایش گرانروی در ترکیبات دارای مالتودکسترن قبلًا نیز گزارش شده است. در تحقیقی که روی بررسی افزودن مالتودکسترن بر پایداری امولسیون‌های روغن در آب انجام شد، مالتودکسترن سبب افزایش گرانروی شد [۱۶]. علاوه بر ویژگی جاذب‌الرطوبه بودن مالتودکسترن که ممکن است یکی از دلایل گرانروی بالاتر این نمونه‌ها باشد، دلیل دیگر این امر ممکن است پدیده‌ی تجمع تخلیه‌ای در نسبت‌های بالای مالتودکسترن باشد. Klinkesorn و همکاران در تحقیقی که روی پایداری امولسیون‌های روغن ذرت در آب حاوی مالتودکسترن انجام دادند نشان دادند که مالتودکسترن در غلظت‌های بالاتر از غلظت بحرانی سبب افزایش گرانروی می‌گردد و علت این پدیده را تجمع تخلیه‌ای (Depletion flocculation) بیان نمودند [۱۷]. زیرا زمانی که ذرات تجمع پیدا می‌کنند، گرانروی به دلیل درگیر شدن فاز پیوسته در میان ذرات توده شده افزایش می‌یابد. در بررسی اخیر هم به نظر می‌رسد غلظت بحرانی در حدود ۵۰ درصد باشد. پس از این ۳ نمونه به ترتیب نمونه‌های ۴، ۷، ۸، ۱۴،

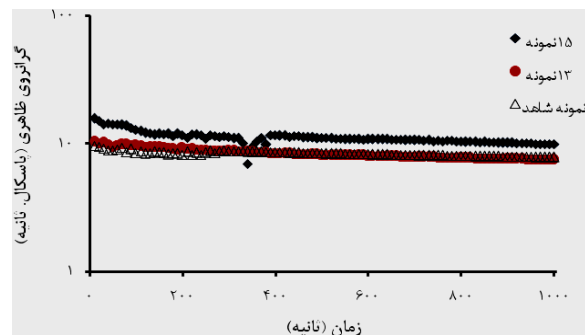
اکثر نواحی نمودار ضریب ذخیره بیشتر از ضریب افت است فقط در بعضی نواحی ضریب ذخیره و افت بر هم منطبق هستند که نشان می‌دهد رفتار جامدمانند آن از نمونه ۱۳ کمتر است. در نمودار نمونه شاهد نیز به جز چند نقطه در بقیه نقاط ضریب ذخیره بیشتر از ضریب افت است و این نشان می‌دهد جای‌گزینی ساکاروز با اینولین، پلی‌دکستروز و متالودکسترین تاحدودی بر ویژگی‌های ویسکوالاستیک نمونه‌ها اثر گذاشته است.



شکل ۴ تأثیر نسبت‌های مختلف جای‌گزین‌های قند روی ضرایب افت و ذخیره ( $G'':\blacksquare$  و  $G':\square$ ) به صورت تابعی از بسامد زاویه‌ای برای نمونه‌های شکلات تلح کمالی اندازه‌گیری شده در دمای  $40^{\circ}\text{C}$  درجه‌ی سانتی‌گراد و میزان کرنش  $0.01$  درصد (الف: نمونه ۱۳، ب: نمونه ۱۵ و ج: نمونه شاهد).

های  $۶, ۷, ۱۴, ۸, ۱۳, ۲, ۱, ۷, ۱۵$  هم به ترتیب دارای گرانزوی ظاهری بیشتری هستند که دلایل این روند در بخش مربوط به گرانزوی کاسون توضیح داده شده است.

در شکل ۳ گرانزوی ظاهری نمونه‌های  $۱۳, ۱۵$  و شاهد در سرعت برشی ثابت  $50^{-1}$  در مقابل زمان نشان داده شده است. همان‌طور که مشاهده می‌شود گرانزوی این نمونه‌ها مستقل از زمان بوده و با گذشت زمان تغییری نمی‌کند. این موضوع موید نتایج ارائه شده در شکل ۱ است که رفتار تیکسوتروپیک یا نرم شوندگی برشی محسوسی در نمونه‌ها مشاهده نشد و در اغلب موارد نمودارهای رفت و برگشتی روی هم دیگر منطبق بودند.



شکل ۳ مقایسه نمودار گرانزوی به صورت تابعی از زمان برای نمونه‌های  $\bullet$  ۱۳ و  $\blacklozenge$  ۱۵ (شاهد) شکلات تلح کمالی در دمای  $40^{\circ}\text{C}$  درجه‌ی سانتی‌گراد و سرعت برشی ثابت ( $50\text{s}^{-1}$ )

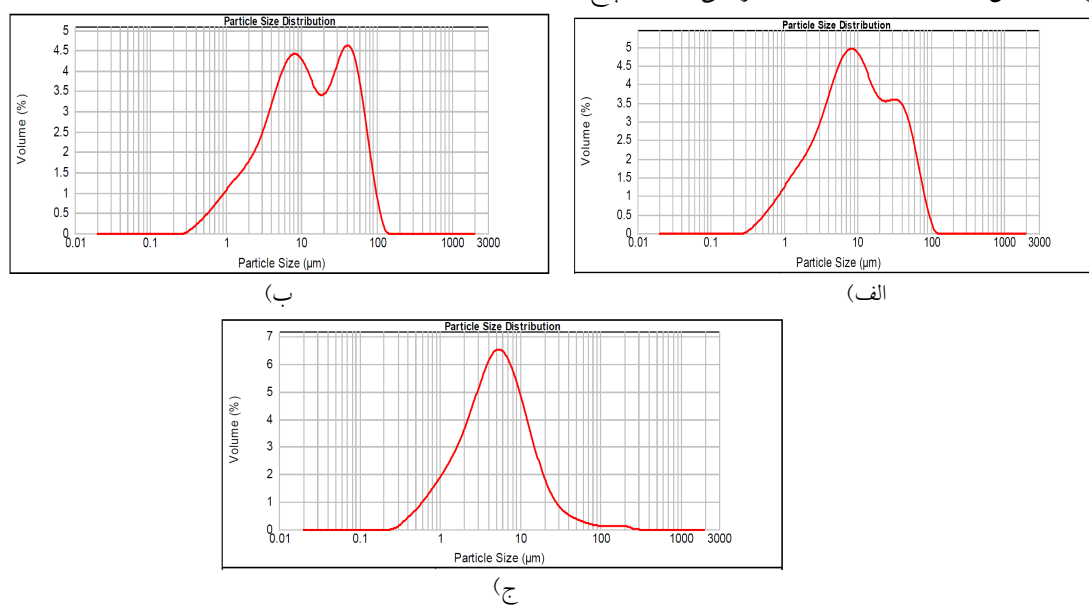
### ۳-۳- بررسی نتایج آزمون نوسانی

آزمون نوسانی (Oscillatory testing) متداول‌ترین روش مطالعه‌ی رفتار ویسکوالاستیک مواد غذایی است که از نتایج آن می‌توان برای بررسی ترکیب شیمیایی و ساختار فیزیکی مواد نیز استفاده نمود. برای تعیین ویژگی‌های ویسکوالاستیک نمونه‌ها از دو عامل ضریب ذخیره ( $G''$ ) و ضریب افت ( $G'$ ) استفاده می‌شود. ضریب ذخیره بزرگی انرژی ذخیره شده در ماده و ضریب افت بزرگی انرژی تلف شده را نشان می‌دهند. از این‌رو، برای یک ماده الاستیک کامل که تمام انرژی اعمال شده را ذخیره کند مقدار  $G''$  صفر است. هم‌چنین، در مایعی که فاقد هرگونه ویژگی الاستیک است تمام انرژی به صورت گرما تلف شده و  $G'$  برابر صفر خواهد بود. مواد غذایی بین این دو حالت بوده و ویسکوالاستیک هستند [۷]. پس از بررسی نتایج حاصل از ارزیابی حسی دو نمونه  $(13$  و  $15)$  که از نظر ارزیاب‌ها به نمونه شاهد نزدیک‌تر بودند به منظور انجام آزمون نوسانی انتخاب شدند. شکل ۴ نتایج آزمون نوسانی این دو نمونه را نشان می‌دهد. همان‌طور که دیده می‌شود در نمونه  $13$  ضریب ذخیره بیشتر از ضریب افت و نشان می‌دهد در این نمونه رفتار جامد مانند، حاکم است. در نمونه  $15$  نیز در

### ۴-۴- اندازه ذرات

غلتک، اندازه ذرات شکلات را کاهش می‌دهند در صورتی که نمونه‌های این بررسی در شرایط آزمایشگاهی تولید و شاید بیشتر بودن اندازه ذرات نمونه‌ها نسبت به نمونه شاهد به این دلیل باشد.

در شکل ۵ منحنی توزیع اندازه ذرات نمونه‌های ۱۳، ۱۵ و شاهد نشان داده شده است. همان‌طور که دیده می‌شود منحنی مربوط به نمونه شاهد دارای منحنی زنگوله‌ای شکل و توزیع نرمالی است. در حالی که نمونه ۱۵ و پس از آن نمونه ۱۳ دارای منحنی غیر یکنواختی هستند. ساکاروز حدود ۴۰-۵۰ درصد از ذرات جامد معلق در چربی موجود در شکلات را تشکیل می‌دهد بنابراین، ویژگی‌های عملکردی آن شامل شیرینی، پایداری، توزیع اندازه ذرات و اثر آن بر بافت و ویژگی‌های رئولوژیکی محصول در تولید شکلات از اهمیت ویژه‌ای برخوردار است [۲]. پس شاید نرمال بودن توزیع اندازه ذرات نمونه شاهد را بتوان به حضور ساکاروز و یکنواخت بودن ذرات موجود در نمونه شاهد نسبت داد. نمونه ۱۵ نیز که دارای ۱۰۰ درصد اینولین است نسبت به نمونه ۱۳ که هم اینولین و هم مالتودکسترین دارد دارای توزیع نرمال‌تری می‌باشد. در سال ۲۰۰۸، Afaoakwa و همکاران تاثیر توزیع اندازه ذرات بر ساختار و ویژگی‌های رئولوژیکی شکلات تلخ را بررسی کردند. نتایج نشان داد با افزایش اندازه ذرات گرانزوی کاسون، تنش تسلیم، گرانزوی ظاهری و تیکسوتروبی کاهش می‌یابد [۱۱]. در سال ۲۰۱۰، Shah و همکاران نیز نوعی شکلات شیری بدون ساکاروز با استفاده از عصاره استویا به عنوان شیرین‌کننده و اینولین و پلی‌دکستروز به عنوان حجم‌دهنده تولید کردند. نتایج نشان داد جای‌گزینی ساکاروز اثری بر توزیع اندازه ذرات نداشت [۱۵].



شکل ۵ توزیع اندازه ذرات نمونه‌های الف: ۱۳، ب: ۱۵ و ج: شاهد.

- [5] Farzanmehr H, Abbasi S, Sahari MA. (2008). Effect of sugar replacer on some physicochemical, rheological and sensory properties of milk chocolate. *Iranian Journal of Food Science & Technology*, 3(3):65-82 [in Persian].
- [6] Beckett, S. T. (2000). *The Science of Chocolate*. London: Royal Society of Chemistry Paperbacks.
- [7] Barnes HA. (2008). *Handbook of elementary rheology*. Translated by Abbasi S. Tehran: Marzedanesh Publications [In Persian].
- [8] Chevalley, J. (1994). Traditional chocolate making, In: *Industrial Chocolate Manufacture and Use*, ed. Beckett, S. T., PP. 1-7. London: Blackie Academic and Professional.
- [9] Abbasi, S. and Farzanmehr, H. (2009). Rheological properties of prebiotic milk chocolate. *Food Technology and Biotechnology*, 47: 396-403.
- [10] Keogh, M. K., Murray, C. A., and O' Kennedy, B. T. (2003). Effect of selected properties of ultrafiltered spray-dried milk powders on some properties of chocolate. *International Dairy Journal*, 13: 719-726.
- [11] Afoakwa, E.O., Paterson, A., Fowler, M. and Vieira, J. (2008). Effects of particle size distribution and composition on rheological properties of dark chocolate. *European Food Research and Technology*, 226: 1259-1268.
- [12] Becu, M., Fonoll, J. R., Hospied, E., Liegeois, S., Haut, B. and Debaste, F. (2010). Study of the rheological behavior of chocolate and margarine. *Biotechnology, Agronomy, Society and Environment*, 14(S2): 537-540.
- [13] Shourideh M, Taslimi A, Azizi MH, Mohammadifar MA, Mashayekh M. (2010). Effects of D-Tagatose , inulin and stevia as sugar substitutes on the physical, chemical, rheological and sensory properties of dark chocolate. *Iranian Journal of Food Science & Technology*, 5 (3) :29-38 [in Persian].
- [14] Servais, C., Ranc, H. and Roberts. I.D. (2004). Determination of chocolate viscosity, *Journal of Texture Studies*, 34: 467-497.
- [15] Shah, A. B., Jones, G.P. and Vasiljevic, T. (2010) Sucrose-free chocolate sweetened with Stevia rebaudiana extract and containing different bulking agents – effects on physicochemical and sensory properties. *International Journal of Food Science and Technology*, 45:1426-1435.

البته باید توجه شود که کارهای اشاره شده در بالا همه در حد صنعتی تولید شده بودند و احتمالاً تفاوت اندازه ذرات نمونه‌های تولیدی در این بررسی با نمونه تجاری به تفاوت در مرحله کاهش اندازه ذرات قبل از کونچ کردن بستگی دارد زیرا در صنعت این کار به کمک چند غلتک صورت می‌گیرد اما در بررسی حاضر به صورت دستی و با استفاده از چند الک انجام شد. هرچند این روش دستی نیز ذرات را به حدی ریز کرد، که همان طور که در شکل ۵ دیده می‌شد، زیر آستانه چشایی بود.

#### ۴- نتیجه گیری

نتایج این پژوهش نشان داد که همه نمونه‌های شکلات تولیدی دارای ویژگی تیکسوتروپیک بوده و رفتار شبیه پلاستیک از خود نشان دادند. از بین مدل‌های ریاضی ارزیابی شده جهت پیشگویی ویژگی‌های رئولوژیکی شکلات، مدل کاسون مناسب‌ترین مدل برای این منظور تشخیص داده شد. جایگزینی ساکاروز تاثیر کمی بر ویژگی‌های ویسکوالاستیک نمونه‌ها داشت و گرانروی نمونه‌ها مستقل از زمان بود. اندازه ذرات نمونه‌های تولیدی اگرچه از نمونه تجاری بیشتر بود اما زیر آستانه چشایی بود. در مجموع با استفاده از یافته‌های این بررسی می‌توان شکلات تلخ کم‌کالری پری‌بیوتیکی تولید کرد که از لحاظ ویژگی‌های رئولوژیکی تفاوت قابل ملاحظه‌ای با شکلات معمولی ندارد.

#### ۵- منابع

- [1] Zehner, L. R. and Zehner, W. L. (2004). Mixtures of fructose and lactose as a low-calorie bulk sweetener with reduced glycemic index. U. S. Patent, Number 6,777,397.
- [2] Sokmen, A., and Gunes, G. (2006). Influence of some bulk sweeteners on the rheological properties of chocolate. *Lebensmittel-Wissenschaft und Technologie*, 39: 1053-1058.
- [3] Bourne, MC. (2007). Food texture and viscosity: Concept and measurement. 2nd ed. Translated by Abbasi S. Tehran: Marzedanesh Publications, [In Persian].
- [4] Afoakwa, E.O., Paterson, A. and Fowler, M. (2007). Factors influencing rheological and textural qualities in chocolate. *Trends in Food Science and Technology*, 18: 290-298.

- determine the factors affecting the measurement of chocolate viscosity. *Journal of Texture Studies*, 31: 541–576.
- [19] Schantz, B. and Rohm, H. )2005). Influence of lecithin–PGPR blends on the rheological properties of chocolate. *Lebensm.-Wiss. u.-Technology*, 38: 41–45.
- [20] Bolenz, S., Amtsberg, K., and Schäpe, R. (2006). The broader usage of sugars and fillers in milk chocolate made possible by the new EC cocoa directive. *International Journal of Food and Technology*, 41: 45–55.
- [16] Udomrati, S., Ikeda Sh. and Gohtani, Sh. (2011). The effect of tapioca maltodextrins on the stability of oil-in-water emulsions. Available at: [www.starch-journal.com](http://www.starch-journal.com)
- [17] Klinkesorn, U., Sophanodora, P., Chinachoti, P., and McClements, D. J. (2004). Stability and rheology of corn oil-in-water emulsions containing maltodextrin. *Food Research International*, 37: 851–859.
- [18] Aeschlimann, J.M. and Beckett, S.T. (2000). International inter-laboratory trials to

## Effects of inulin and bulking agents on rheological properties and particle size distribution of low calorie dark chocolate

Bitaraf, SH.<sup>1</sup>, Abbasi, S.<sup>2\*</sup>, Hamidi Esfahani, Z.<sup>3</sup>

1. MSc Graduate in Food Science & Technology, Faculty of Agriculture, Tarbiat Modares University
2. Associate Prof in Food Science & Technology, Faculty of Agriculture, Tarbiat Modares University.
3. Associate Prof in Food Science & Technology, Faculty of Agriculture, Tarbiat Modares University

(Received: 92/1/16 Accepted: 92/4/29)

Molten dark chocolate is a dispersion of solid particles including sugar and cocoa powder in a continuous phase of cocoa butter. Hence, the rheological properties as well as the particle size distribution of ingredients in chocolate are very important for obtaining high-quality products with well-defined texture. Therefore, the present study aimed to evaluate the effects of sugar substitutes on rheological characteristics and particle size distribution of prebiotic dark chocolate. For doing this, a prebiotic compound (inulin) in combination with bulking agents (polydextrose and maltodextrin) at different levels (0–100 %) along with sucralose were used. Based on our findings, all the treated samples showed thixotropic and pseudoplastic behavior and the Casson mathematical model most closely fitted to the rheological data. Furthermore, the sucrose replacement slightly affected the viscoelastic properties and the viscosity of the samples was time independent. In terms of the particle size, they were somewhat larger than the commercial one but still below the taste threshold.

**Keywords:** Low calorie dark chocolate, Inulin; Polydextrose, Maltodextrin, Rheological properties, Particle size distribution.

---

\* Corresponding Author E-Mail Aadress: sabbasifood@modares.ac.ir